

Starkniederschlagshöhen und -spenden gemäß KOSTRA-DWD-2020

Rasterfeld 112136

(Zeile 112, Spalte 136)

Regenspende und Bemessungsniederschlagswerte in Abhängigkeit von Wiederkehrzeit T und Dauerstufe D

| Dauerstufe D | | Wiederkehrzeit T | | | | | | | | | | | | | | | | | |
|--------------|-----|------------------|------------|------|------------|------|------------|------|------------|-------|------------|-------|------------|-------|------------|-------|------------|-------|------------|
| | | 1 a | | 2 a | | 3 a | | 5 a | | 10 a | | 20 a | | 30 a | | 50 a | | 100 a | |
| min | Std | mm | l / (s ha) | mm | l / (s ha) | mm | l / (s ha) | mm | l / (s ha) | mm | l / (s ha) | mm | l / (s ha) | mm | l / (s ha) | mm | l / (s ha) | mm | l / (s ha) |
| 5 | | 6,7 | 223,3 | 8,2 | 273,3 | 9,1 | 303,3 | 10,3 | 343,3 | 12,1 | 403,3 | 14,0 | 466,7 | 15,2 | 506,7 | 16,7 | 556,7 | 19,0 | 633,3 |
| 10 | | 8,8 | 146,7 | 10,8 | 180,0 | 12,0 | 200,0 | 13,6 | 226,7 | 16,0 | 266,7 | 18,4 | 306,7 | 20,0 | 333,3 | 22,1 | 368,3 | 25,0 | 416,7 |
| 15 | | 10,1 | 112,2 | 12,4 | 137,8 | 13,8 | 153,3 | 15,7 | 174,4 | 18,4 | 204,4 | 21,1 | 234,4 | 23,0 | 255,6 | 25,4 | 282,2 | 28,8 | 320,0 |
| 20 | | 11,0 | 91,7 | 13,6 | 113,3 | 15,1 | 125,8 | 17,2 | 143,3 | 20,1 | 167,5 | 23,2 | 193,3 | 25,2 | 210,0 | 27,8 | 231,7 | 31,5 | 262,5 |
| 30 | | 12,5 | 69,4 | 15,3 | 85,0 | 17,1 | 95,0 | 19,4 | 107,8 | 22,7 | 126,1 | 26,1 | 145,0 | 28,4 | 157,8 | 31,3 | 173,9 | 35,6 | 197,8 |
| 45 | | 14,0 | 51,9 | 17,2 | 63,7 | 19,1 | 70,7 | 21,7 | 80,4 | 25,5 | 94,4 | 29,3 | 108,5 | 31,8 | 117,8 | 35,1 | 130,0 | 39,9 | 147,8 |
| 60 | 1 | 15,1 | 41,9 | 18,6 | 51,7 | 20,7 | 57,5 | 23,5 | 65,3 | 27,5 | 76,4 | 31,7 | 88,1 | 34,4 | 95,6 | 38,0 | 105,6 | 43,1 | 119,7 |
| 90 | 1,5 | 16,8 | 31,1 | 20,7 | 38,3 | 23,0 | 42,6 | 26,2 | 48,5 | 30,7 | 56,9 | 35,3 | 65,4 | 38,4 | 71,1 | 42,3 | 78,3 | 48,0 | 88,9 |
| 120 | 2 | 18,1 | 25,1 | 22,3 | 31,0 | 24,8 | 34,4 | 28,2 | 39,2 | 33,1 | 46,0 | 38,1 | 52,9 | 41,3 | 57,4 | 45,6 | 63,3 | 51,8 | 71,9 |
| 180 | 3 | 20,1 | 18,6 | 24,7 | 22,9 | 27,6 | 25,6 | 31,3 | 29,0 | 36,7 | 34,0 | 42,2 | 39,1 | 45,9 | 42,5 | 50,6 | 46,9 | 57,5 | 53,2 |
| 240 | 4 | 21,7 | 15,1 | 26,6 | 18,5 | 29,7 | 20,6 | 33,7 | 23,4 | 39,5 | 27,4 | 45,4 | 31,5 | 49,3 | 34,2 | 54,5 | 37,8 | 61,8 | 42,9 |
| 360 | 6 | 24,0 | 11,1 | 29,5 | 13,7 | 32,8 | 15,2 | 37,3 | 17,3 | 43,7 | 20,2 | 50,3 | 23,3 | 54,7 | 25,3 | 60,3 | 27,9 | 68,5 | 31,7 |
| 540 | 9 | 26,5 | 8,2 | 32,6 | 10,1 | 36,4 | 11,2 | 41,3 | 12,7 | 48,4 | 14,9 | 55,7 | 17,2 | 60,5 | 18,7 | 66,8 | 20,6 | 75,8 | 23,4 |
| 720 | 12 | 28,5 | 6,6 | 35,0 | 8,1 | 39,1 | 9,1 | 44,4 | 10,3 | 52,0 | 12,0 | 59,9 | 13,9 | 65,0 | 15,0 | 71,8 | 16,6 | 81,4 | 18,8 |
| 1080 | 18 | 31,6 | 4,9 | 38,8 | 6,0 | 43,2 | 6,7 | 49,1 | 7,6 | 57,5 | 8,9 | 66,2 | 10,2 | 71,9 | 11,1 | 79,4 | 12,3 | 90,1 | 13,9 |
| 1440 | 24 | 33,9 | 3,9 | 41,6 | 4,8 | 46,4 | 5,4 | 52,7 | 6,1 | 61,8 | 7,2 | 71,2 | 8,2 | 77,3 | 8,9 | 85,3 | 9,9 | 96,8 | 11,2 |
| 2880 | 48 | 40,3 | 2,3 | 49,5 | 2,9 | 55,2 | 3,2 | 62,6 | 3,6 | 73,4 | 4,2 | 84,5 | 4,9 | 91,8 | 5,3 | 101,3 | 5,9 | 115,0 | 6,7 |
| 4320 | 72 | 44,5 | 1,7 | 54,7 | 2,1 | 61,0 | 2,4 | 69,3 | 2,7 | 81,2 | 3,1 | 93,5 | 3,6 | 101,5 | 3,9 | 112,1 | 4,3 | 127,2 | 4,9 |
| 5760 | 96 | 47,8 | 1,4 | 58,8 | 1,7 | 65,5 | 1,9 | 74,4 | 2,2 | 87,2 | 2,5 | 100,4 | 2,9 | 109,0 | 3,2 | 120,3 | 3,5 | 136,6 | 4,0 |
| 7200 | 120 | 50,6 | 1,2 | 62,1 | 1,4 | 69,2 | 1,6 | 78,6 | 1,8 | 92,1 | 2,1 | 106,1 | 2,5 | 115,2 | 2,7 | 127,2 | 2,9 | 144,3 | 3,3 |
| 8640 | 144 | 52,9 | 1,0 | 65,0 | 1,3 | 72,4 | 1,4 | 82,3 | 1,6 | 96,4 | 1,9 | 111,0 | 2,1 | 120,6 | 2,3 | 133,1 | 2,6 | 151,0 | 2,9 |
| 10080 | 168 | 55,0 | 0,9 | 67,5 | 1,1 | 75,3 | 1,2 | 85,5 | 1,4 | 100,2 | 1,7 | 115,3 | 1,9 | 125,2 | 2,1 | 138,2 | 2,3 | 156,9 | 2,6 |

Starkniederschlagshöhen und -spenden gemäß KOSTRA-DWD-2020

Rasterfeld 112136

(Zeile 112, Spalte 136)

Örtliche Unsicherheiten in Abhängigkeit von Wiederkehrzeit T und Dauerstufe D

| Dauerstufe D | | Wiederkehrzeit T | | | | | | | | |
|--------------|-----|------------------|-----|-----|-----|------|------|------|------|-------|
| | | 1 a | 2 a | 3 a | 5 a | 10 a | 20 a | 30 a | 50 a | 100 a |
| min | Std | ± % | ± % | ± % | ± % | ± % | ± % | ± % | ± % | ± % |
| 5 | | 12 | 13 | 13 | 14 | 15 | 16 | 16 | 16 | 17 |
| 10 | | 14 | 16 | 17 | 18 | 19 | 20 | 20 | 21 | 21 |
| 15 | | 16 | 18 | 19 | 20 | 21 | 22 | 22 | 23 | 23 |
| 20 | | 17 | 19 | 20 | 21 | 22 | 23 | 23 | 24 | 24 |
| 30 | | 17 | 19 | 20 | 22 | 23 | 24 | 24 | 25 | 25 |
| 45 | | 17 | 20 | 21 | 22 | 23 | 24 | 25 | 25 | 26 |
| 60 | 1 | 17 | 19 | 20 | 22 | 23 | 24 | 24 | 25 | 26 |
| 90 | 1,5 | 16 | 19 | 20 | 21 | 22 | 23 | 24 | 24 | 25 |
| 120 | 2 | 16 | 18 | 19 | 20 | 21 | 22 | 23 | 23 | 24 |
| 180 | 3 | 15 | 17 | 18 | 19 | 20 | 21 | 22 | 22 | 23 |
| 240 | 4 | 14 | 16 | 17 | 18 | 19 | 20 | 21 | 21 | 22 |
| 360 | 6 | 13 | 15 | 16 | 17 | 18 | 19 | 20 | 20 | 21 |
| 540 | 9 | 12 | 14 | 15 | 16 | 17 | 18 | 18 | 19 | 20 |
| 720 | 12 | 12 | 13 | 14 | 15 | 16 | 17 | 18 | 18 | 19 |
| 1080 | 18 | 12 | 13 | 14 | 15 | 15 | 16 | 17 | 17 | 18 |
| 1440 | 24 | 12 | 13 | 14 | 14 | 15 | 16 | 16 | 17 | 17 |
| 2880 | 48 | 14 | 14 | 14 | 14 | 15 | 15 | 16 | 16 | 16 |
| 4320 | 72 | 15 | 15 | 15 | 15 | 15 | 16 | 16 | 16 | 16 |
| 5760 | 96 | 16 | 16 | 16 | 16 | 16 | 16 | 16 | 16 | 17 |
| 7200 | 120 | 17 | 17 | 16 | 16 | 16 | 17 | 17 | 17 | 17 |
| 8640 | 144 | 18 | 17 | 17 | 17 | 17 | 17 | 17 | 17 | 17 |
| 10080 | 168 | 19 | 18 | 18 | 18 | 18 | 18 | 18 | 18 | 18 |

Parameter für abweichende T und D

Lokationsparameter ξ (Xi)

15,45191189

Skalenparameter α (Alpha)

4,90213076

Formparameter κ (Kappa)

-0,1

1. Koutsoyiannis-Parameter θ (Theta)

0,02929317

2. Koutsoyiannis-Parameter η (Eta)

0,75223807

Parameter für dauerstufenübergreifende Extremwertschätzung nach KOUTSOYIANNIS et al. 1998.

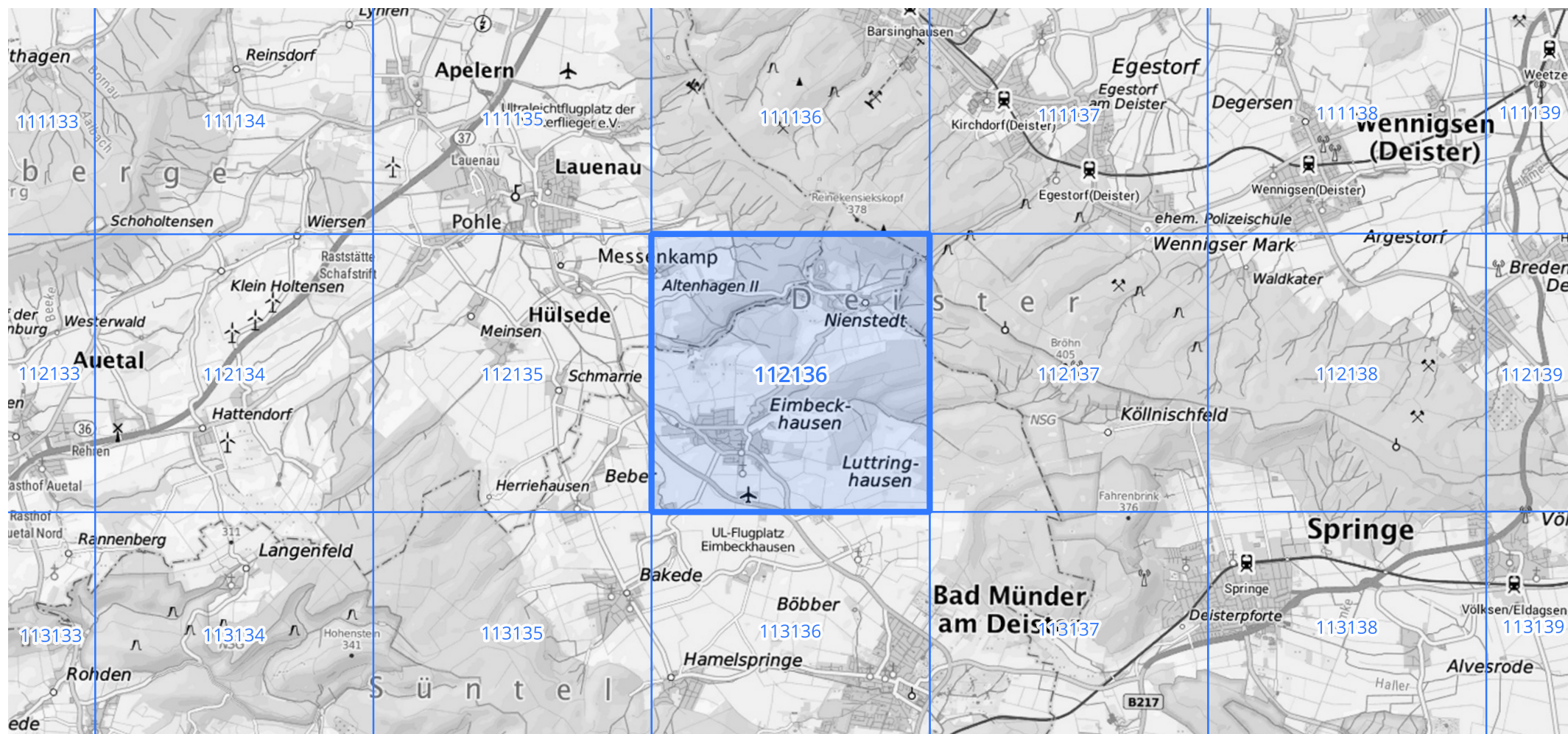
Siehe auch Anwendungshilfe zu KOSTRA-DWD-2020 des Deutschen Wetterdienstes.

Starkniederschlagshöhen und -spenden gemäß KOSTRA-DWD-2020

Rasterfeld 112136

(Zeile 112, Spalte 136)

Übersichtskarte des Rasterfeldes 112136, M 1 : 100 000



Quelle Rasterdaten: KOSTRA-DWD-2020 des Deutschen Wetterdienstes, Stand 12/2022.

Seite 3 von 3

Kartendarstellung: © Bundesamt für Kartographie und Geodäsie (2023), Datenquellen: https://sgx.geodatenzentrum.de/web_public/gdz/datenquellen/Datenquellen_TopPlusOpen.html

Für die Richtigkeit und Aktualität der Angaben wird keine Gewähr übernommen. Erstellt 01/2023.